

Observateurs non linéaires de multimodèles. Application à la synchronisation et aux communications

Estelle Cherrier ^{,**}, Mohamed Boutayeb ^{**}, José Ragot ^{*}*

** CRAN UMR CNRS 7039
INPL 2 Avenue de la Forêt de Haye
54516 Vandoeuvre-lès-Nancy Cedex*

*** LSIIT UMR CNRS 7005
ULP Bd Brandt BP 10413
67412 Illkirch*

CIFA 2006

Conférence Internationale Francophone d'Automatique

Bordeaux, France, 30 mai - 1 juin 2006





□ Plan

□ Introduction

- Synchronisation
- Systèmes de communication

□ Multimodèles :

- Choix de l'émetteur : multimodèle chaotique
- Conception du récepteur : synthèse de l'observateur et analyse de la synchronisation

□ Système de communication

□ Simulations

□ Conclusion et perspectives





Introduction



Synchronisation

- ❑ **Synchronisation** : observée au XVI^e siècle (Huygens)
 - ⊗ concerne les systèmes périodiques

a priori incompatible

- ❑ **Systemes chaotiques** :
 - ❑ Déterministes
 - ❑ Sensibilité aux conditions initiales
 - ❑ Existence d'UPO denses dans l'attracteur
- } apériodiques

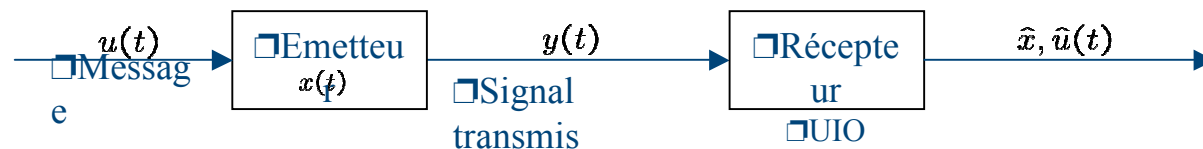
Synchronisation

- Dans les années 1990 :
 - théorie du contrôle du chaos
 - synchronisation des systèmes chaotiques :
 - Pecora et Carroll ⇒ *principe maître-esclave* (1990)
 - Décomposition active-passive (1995)
 - Approche utilisant les observateurs (1997)
- ⊗ principale application : **systemes de communications**

Les techniques de cryptage (1)

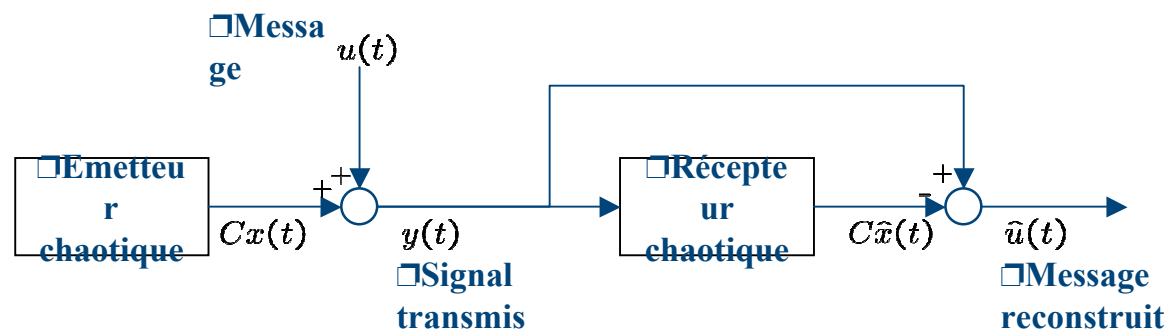
Technique générale de reconstruction d'entrées inconnues

Observateurs à entrées inconnues



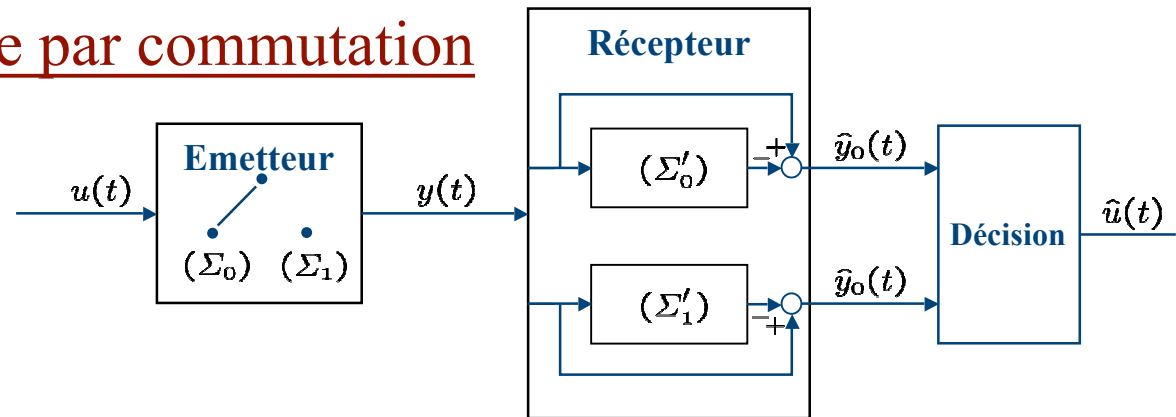
Techniques spécifiques adaptées aux systèmes chaotiques

Cryptage par addition

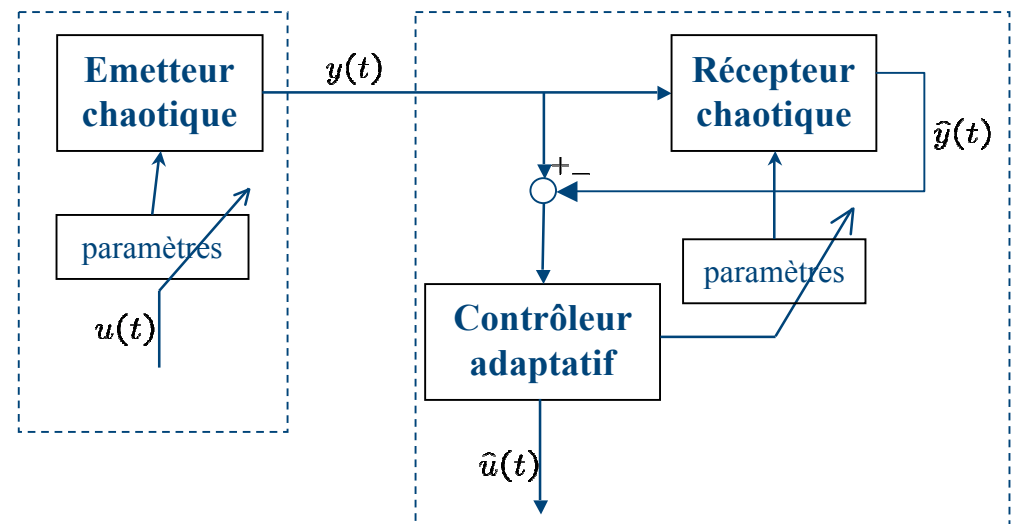


Les techniques de cryptage (2)

Cryptage par commutation



Cryptage par modulation

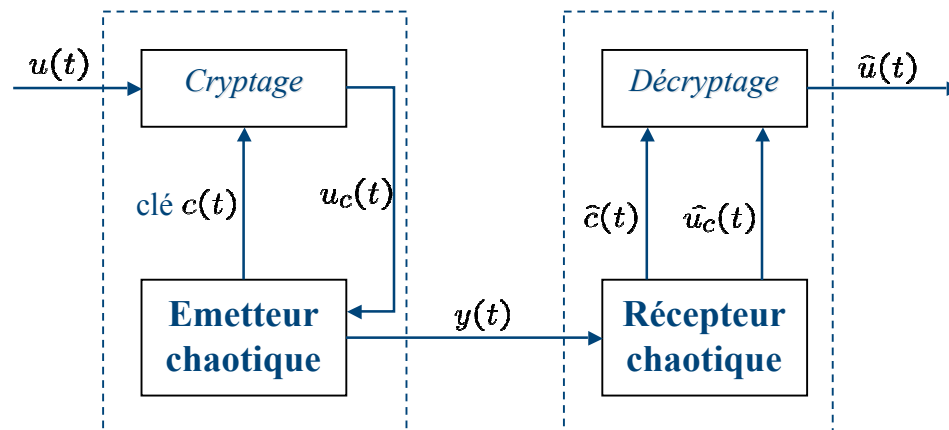


Les techniques de cryptage (3)

Cryptage par inversion



Cryptosystèmes





La synchronisation des multimodèles chaotiques

Multimodèles chaotiques

□ p modèles linéaires locaux
 \Rightarrow multimodèle :

$$\begin{cases} \dot{x}(t) = \sum_{i=1}^p \mu_i(\xi(t)) (A_i x(t)) \\ y(t) = Cx(t) \end{cases}$$

avec $\begin{cases} \sum_{i=1}^p \mu_i(\xi) = 1 \\ 0 \leq \mu_i(\xi) \leq 1 \quad \forall i = 1, p \end{cases}$

ω p systèmes chaotiques
à retard :

$$\dot{x} = A_i x + f_i(x) + g_i(x_\tau), i = 1, p$$

Emetteur
= multimodèle chaotique $\begin{cases} \dot{x} = \sum_{i=1}^p \mu_i(y) (A_i x + f_i(x) + g_i(x_\tau)) \\ y = Cx \end{cases} \quad (1)$

Récepteur
= observateur $\dot{\hat{x}} = \sum_{i=1}^p \mu_i(y) (A_i \hat{x} + f_i(\hat{x}) + g_i(\hat{x}_\tau) - K_i (y - C\hat{x})) \quad (2)$

Conditions de synchronisation

□ Théorème

Si les conditions suivantes sont vérifiées:

- (i) les fonctions f_i et g_i sont Lipschitziennes de constantes respectives k_{f_i} et k_{g_i}
- (ii) il existe $\xi > 0$, une matrice $P = P^T > 0$ et p matrices K_i tq

$$\begin{pmatrix} (A_i - K_i C)^T P + P (A_i - K_i C) + (\xi + k_{f_i}) I & P \\ P & -\frac{1}{k_{f_i}} I \end{pmatrix} < 0$$

$$\begin{pmatrix} (k_{g_i} - \xi) I & P \\ P & -\frac{1}{k_{g_i}} I \end{pmatrix} < 0 \quad \text{pour } i=1, p$$

alors le système (2) est un observateur du multimodèle chaotique (1).

Démonstration

⊗ On utilise la théorie de **Lyapunov-Krasovskii** pour déterminer les gains K_i

□ Vecteur d'erreur de synchronisation $e = x - \hat{x}$

$$\Rightarrow \dot{e} = \sum_{i=1}^p \mu_i(y) \left((A_i - K_i C)e + \tilde{f}_i + \tilde{g}_i \right) \quad \square_{\text{ave}} \quad \begin{array}{l} \tilde{f}_i = f_i(x) - f_i(\hat{x}) \\ \tilde{g}_i = g_i(x_\tau) - g_i(\hat{x}_\tau) \end{array}$$

□ Fonctionnelle de Lyapunov-Krasovskii :

$$V = V(e(t), e_\tau(t)) = e^T P e + \xi \int_{-\tau}^0 e(t+\theta)^T e(t+\theta) d\theta$$

□ On montre que : (i) $V \geq 0$

(ii) $\dot{V} \leq 0$

$$\square_{\text{si}} \left\{ \begin{array}{l} \mathcal{M}^T P + P \mathcal{M} + \sum_{i=1}^p \mu_i(y) k_{f_i} P^2 + \left(\sum_{i=1}^p \mu_i(y) k_{g_i} + \xi \right) I < 0 \\ k_{g_i} P^2 + (k_{g_i} - \xi) I < 0 \end{array} \right. \quad \mathcal{M} = \sum_{i=1}^p \mu_i(y) (A_i - K_i C)$$

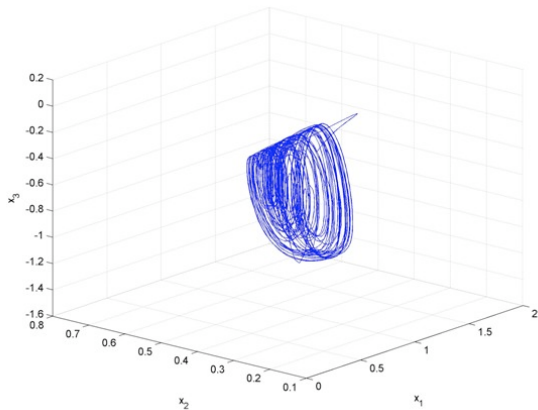


Simulations

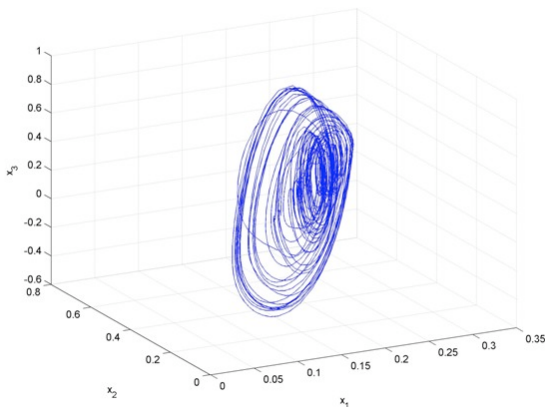
Multimodèle chaotique émetteur

□ Modèle dynamique :

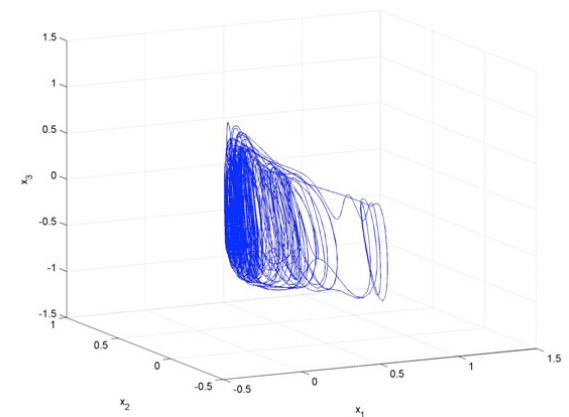
$$\begin{cases} \dot{x}_1 = -\alpha x_1 + \alpha x_2 - \alpha \delta \tanh(x_1) \\ \dot{x}_2 = x_1 - x_2 + x_3 \\ \dot{x}_3 = -\beta x_2 - \gamma x_3 + \varepsilon \sin(\sigma x_1 \tau) \end{cases}$$



$$\begin{aligned} \alpha_1 &= 40, \beta_1 = 35, \\ \gamma_1 &= 20, \delta_1 = -1, \\ \varepsilon_1 &= 10, \sigma_1 = 10, \\ \tau_1 &= 1 \end{aligned}$$

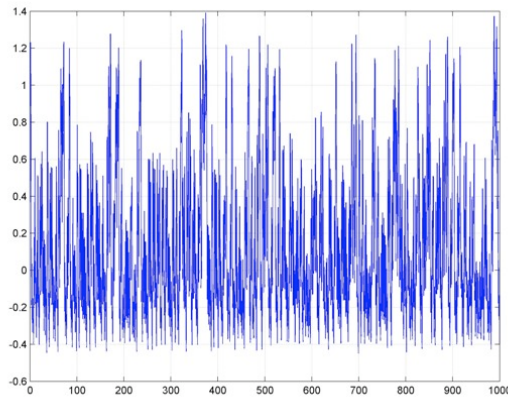


$$\begin{aligned} \alpha_2 &= 20, \beta_2 = 15, \\ \gamma_2 &= 5, \delta_2 = 1, \\ \varepsilon_2 &= 10, \sigma_2 = 10, \\ \tau_2 &= 1 \end{aligned}$$

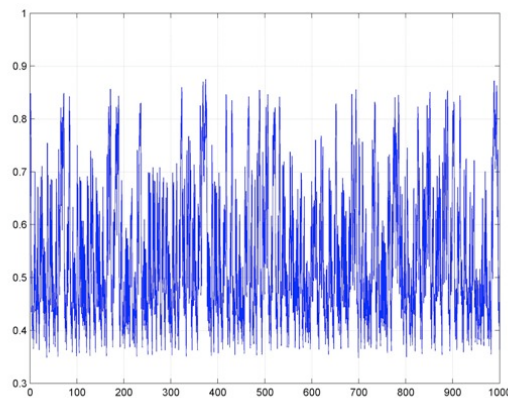


multimodèle

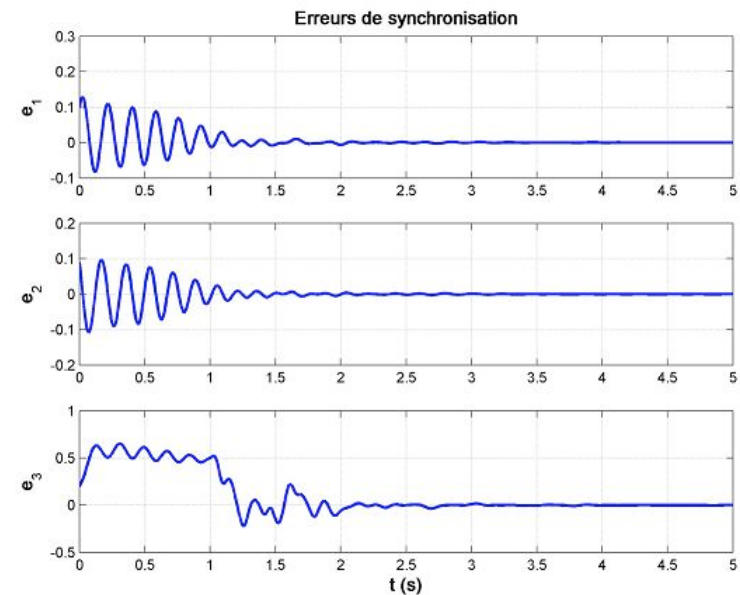
Synchronisation du récepteur



Message transmis



Fonction de transition $\mu(t)$



Composantes de l'erreur de synchronisation $e(t)$

□ Application au cryptage

- On envoie un deuxième **signal chaotique** généré par l'émetteur, avec un **retard dépendant du message** :

$$y_2(t) = x_3(t - T_u u(t))$$

- Après approximation au premier ordre de la formule de Taylor-Lagrange, on obtient :

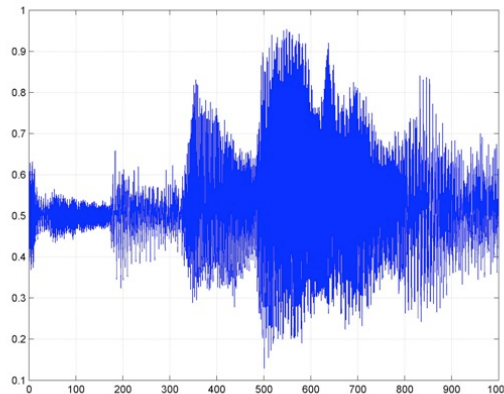
$$x_3(t) - y_2(t) = x_3(t) - x_3(t - T_u u(t)) = \dot{x}_3 T_u u(t)$$

- D'où la formule de **décryptage** :

$$\hat{u}(t) = \frac{\hat{x}_3(t) - y_2(t)}{T_u \hat{x}_3(t)}$$

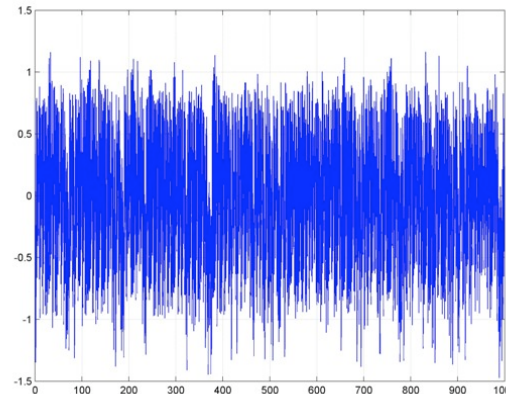
Simulations : cryptage / décryptage

□ Message original :



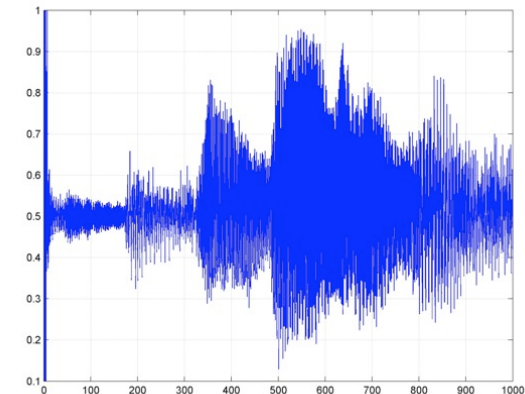
↓
 $u(t) \in [0, 1]$

□ Message crypté :



↓
 $y_2(t) = x_3(t - T_u u(t))$
 $T_u = 0.01$

ω Message décrypté :



↓
 $\hat{u}(t)$

Conclusion

- ❑ Synchronisation de multimodèles chaotiques :
 - ❑ émetteur = multimodèle chaotique à retard
 - ❑ récepteur = observateur

- ❑ Application au cryptage :
on envoie un deuxième signal chaotique

- ❑ Simulations :
message = image, son ...

Perspectives

- ❑ Approfondir l'étude du multimodèle chaotique
- ❑ Développer d'autres techniques de synchronisation
- ❑ Comparaison avec d'autres techniques de cryptage, étude de la sécurité